

Графики пространственной зависимости ядерной восприимчивости для одночастотной и двухчастотной градиентной модуляции даны на рис. 3. При реализации двухчастотной градиентной модуляции в методе ЧТ следует учитывать влияние вторичных полей модуляции, о которых упоминалось выше, но уже на двух частотах.

СПИСОК ЛИТЕРАТУРЫ

[1] Константинов Ю. С., Смирнов А. М.//Приб. и техн. эксперимента. 1980. № 2. С. 143. [2] Константинов Ю. С., Смирнов А. М.//Радиоспектроскопия. Межвуз. сб. науч. трудов. Пермь, 1980. С. 334. [3] Hihshaw W. S.//J. Appl. Phys. 1976. 47. P. 3709. [4] Захаров К. Л., Константинов Ю. С., Смирнов А. М.//Радиоспектроскопия. Межвуз. сб. науч. трудов. Пермь, 1983. С. 65.

Поступила в редакцию
18.03.88

ВЕСТН. МОСК. УН-ТА. СЕР. 3, ФИЗИКА. АСТРОНОМИЯ. 1988. Т. 29, № 6

АКУСТИКА И МОЛЕКУЛЯРНАЯ ФИЗИКА

УДК 534.211.4

КЛАССИФИКАЦИЯ ОСОБЫХ ТОЧЕК ЛИНИЙ ТОКА АКТИВНОЙ И РЕАКТИВНОЙ ИНТЕНСИВНОСТИ БЛИЖНЕГО ПОЛЯ ИСТОЧНИКОВ ЗВУКА

А. Н. Иванников, Д. И. Кравченко
(кафедра акустики)

Дана классификация особых точек линий тока активной и реактивной интенсивности. Показано, что активная интенсивность имеет особые точки типа центр и седло, а реактивная — узел и седло.

Большинство промышленных шумов являются ближними звуковыми полями, создаваемыми сложными распределенными источниками. Поэтому особый интерес представляет исследование в ближнем поле распределения тех энергетических параметров звукового поля, которые связаны с направлением распространения акустической энергии, а именно векторов активной и реактивной интенсивности.

Основным методом исследования пространственного распределения активной I_a и реактивной I_r интенсивности является построение линий тока этих векторных полей [1]. Линиями тока активной (реактивной) интенсивности называются кривые [2], в каждой точке которых вектор активной (реактивной) интенсивности является касательным к этим линиям. Дифференциальные уравнения линий тока активной интенсивности имеют вид

$$\frac{dx}{I_{ax}(x, y, z)} = \frac{dy}{I_{ay}(x, y, z)} = \frac{dz}{I_{az}(x, y, z)}. \quad (1)$$

В настоящей работе будем исследовать звуковые поля таких симметричных распределенных источников звука, для которых векторные поля I_a и I_r имеют лишь две компоненты: (I_{ax}, I_{ay}) и (I_{rx}, I_{ry}) . В этом случае из (1) получим дифференциальное уравнение

$$\frac{dy}{dx} = \frac{I_{ay}(x, y)}{I_{ax}(x, y)}. \quad (2)$$

Поскольку алгоритмы решения таких уравнений известны (например, решение графическим методом [3]), будем исследовать точки, в которых одновременно выполняются равенства $I_{ax}(x_0, y_0) = 0$ и $I_{ay}(x_0, y_0) = 0$. Такие точки векторного поля называются особыми, поскольку в них не выполняются условия теоремы существования и единственности [3] для обыкновенного дифференциального уравнения линий тока (2). Через такие точки может проходить бесконечное число линий тока либо не проходит ни одна.

Исследуем возможные распределения тока вблизи таких точек. Раскладывая компоненты I_a в ряд Тейлора в окрестности особой точки и ограничиваясь членами первого порядка малости, приведем (2) к следующему виду:

$$\frac{dy}{dx} = \frac{(\partial I_{ay}/\partial x)(x-x_0) + (\partial I_{ay}/\partial y)(y-y_0)}{(\partial I_{ax}/\partial x)(x-x_0) + (\partial I_{ax}/\partial y)(y-y_0)}. \quad (3)$$

Характеристическим уравнением для (3) будет

$$\begin{vmatrix} \frac{\partial I_{ax}}{\partial x} - \lambda & \frac{\partial I_{ax}}{\partial y} \\ \frac{\partial I_{ay}}{\partial x} & \frac{\partial I_{ay}}{\partial y} - \lambda \end{vmatrix} = 0. \quad (4)$$

Используя известное свойство векторного поля активной интенсивности: $\text{div } I_a = 0$, получим следующее выражение корней характеристического уравнения (4):

$$\lambda_{1,2} = \pm \left(\frac{\partial I_{ay}}{\partial x} \frac{\partial I_{ax}}{\partial y} - \frac{\partial I_{ax}}{\partial x} \frac{\partial I_{ay}}{\partial y} \right)^{1/2}. \quad (5)$$

Так как под знаком квадратного корня (5) находятся только действительные члены, корни характеристического уравнения будут либо действительными разных знаков

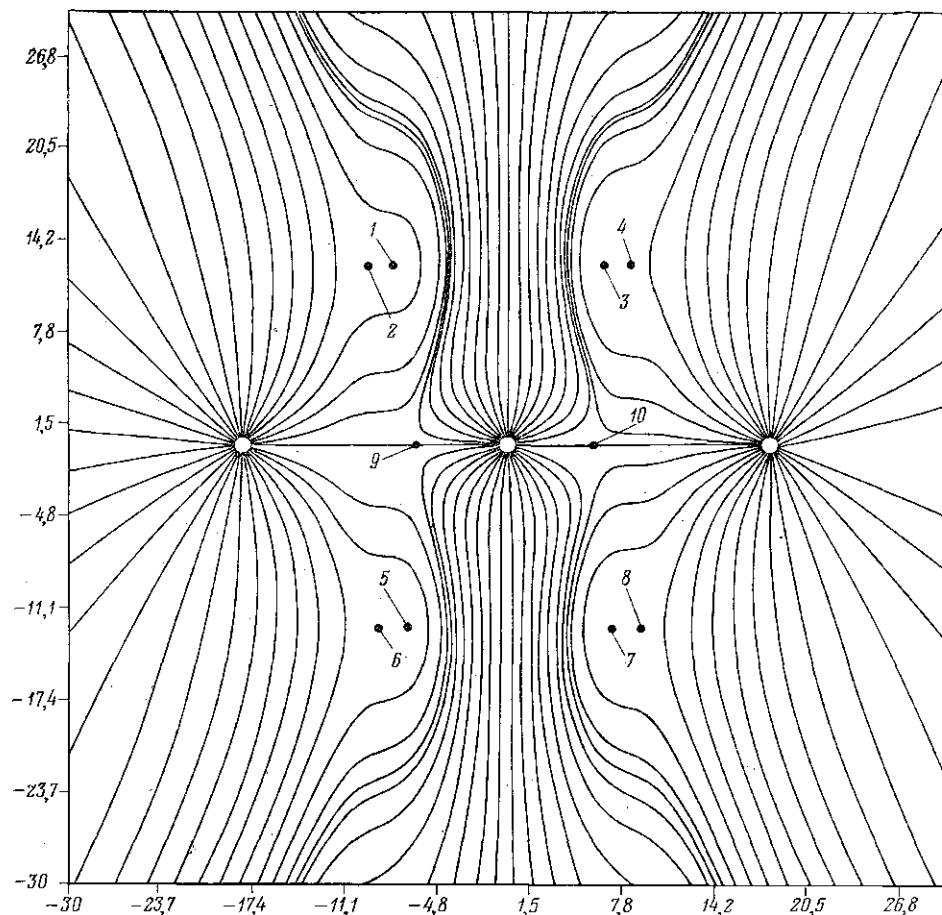


Рис. 1. Линии тока активной интенсивности

($\lambda_1 = -\lambda_2$), либо мнимыми, комплексно-сопряженными ($\lambda_1 = \lambda_2^*$). Согласно теории обыкновенных дифференциальных уравнений, линии тока в окрестности особой точки (x_0, y_0) в первом случае будут иметь гиперболический вид, а во втором они будут представлять собой замкнутые кривые. Соответственно, в первом случае имеем особую точку типа седла, а во втором — особую точку типа центр. Случай $\lambda_{1,2} = 0$ требует специального анализа членов более высокого порядка малости в разложении активной интенсивности. Таким образом, активная интенсивность имеет лишь особые точки типа центр и седло, что хорошо согласуется с ее физической интерпретацией, согласно которой активная интенсивность имеет вихревой характер и не имеет источников в области, свободной от реальных акустических излучателей.

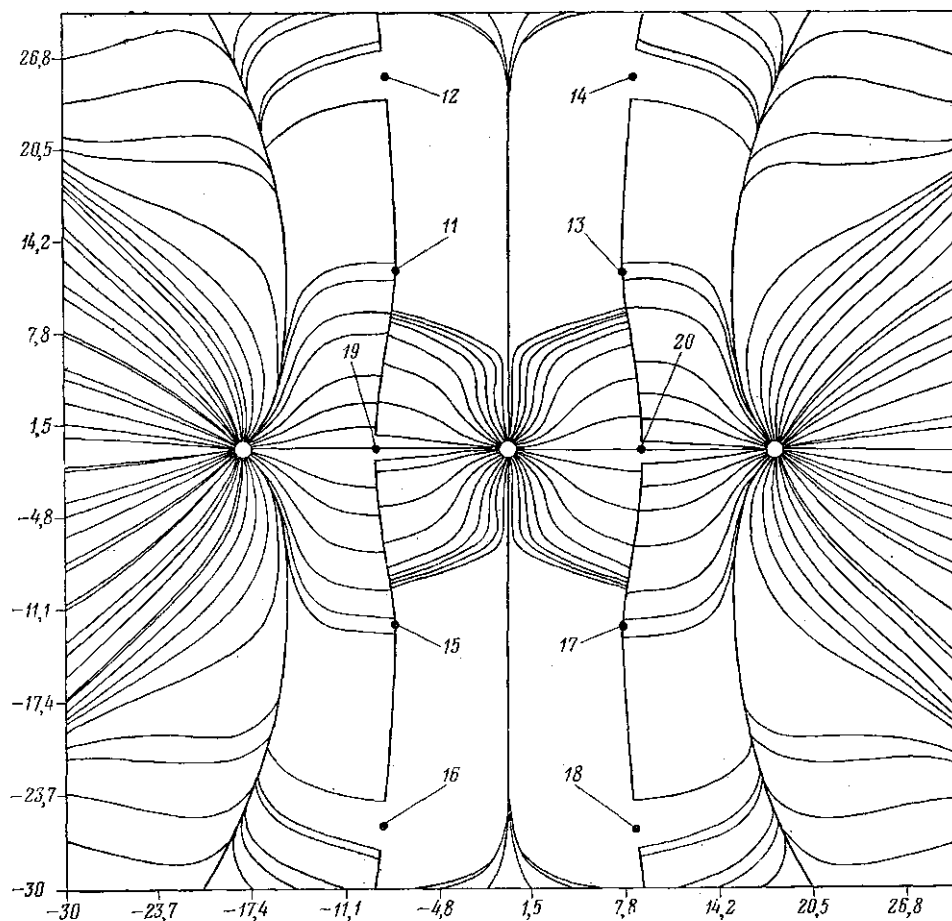


Рис. 2. Линии тока реактивной интенсивности

Рассмотрим структуру векторного поля реактивной интенсивности. Особой точкой реактивной интенсивности будем называть такую точку исследуемой области звукового поля, в которой обе компоненты I_j одновременно обращаются в нуль. Аналогично случаю активной интенсивности составим характеристическое уравнение реактивной интенсивности вида (4). Поскольку векторное поле реактивной интенсивности соленоидально, то $\text{rot } I_j = 0$. С учетом этого выражение корней характеристического уравнения имеет вид

$$\lambda_{1,2} = \frac{1}{2} \left\{ \frac{\partial I_{ix}}{\partial x} + \frac{\partial I_{iy}}{\partial y} \pm \left[\left(\frac{\partial I_{ix}}{\partial x} - \frac{\partial I_{iy}}{\partial y} \right)^2 + \left(2 \frac{\partial I_{ix}}{\partial y} \right)^2 \right]^{\frac{1}{2}} \right\}. \quad (6)$$

Поскольку в (6) входят действительные величины, а под знаком квадратного корня стоит сумма двух неотрицательных чисел, возможны лишь две ситуации: $\lambda_1\lambda_2 > 0$ либо $\lambda_1\lambda_2 < 0$. В первом случае имеем особую точку типа узел, а во втором — седло, т. е. реактивная интенсивность имеет особые точки только типа узел или седло.

Приведенные выше теоретические рассуждения иллюстрируются численным расчетом задачи о трех точечных сферических источниках с координатами $(-l, 0)$; $(0, 0)$; $(l, 0)$, расположенных вдоль общей оси на расстоянии длины волны ($l = \lambda$) и излу-

чающих в условиях свободного звукового поля. Средний источник работает в противофазе с крайними. На рис. 1 приведена картина линий тока I_a , на которой отмечены особые точки активной интенсивности. На рис. 2 приведено то же для реактивной интенсивности. Область, заключенная в прямоугольную рамку, содержит особые точки активной интенсивности типа центр и седло, а также особую точку реактивной интенсивности типа узел. В литературе [4] эта область получила название вихря активной интенсивности.

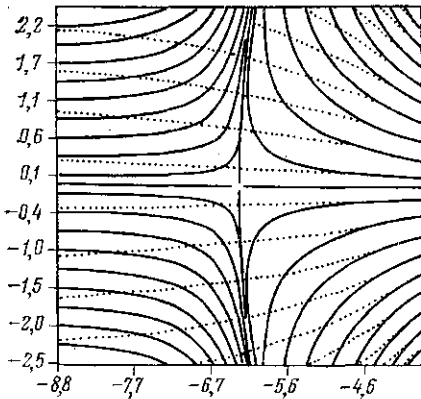


Рис. 3. Линии тока в области седловой точки 9 активной интенсивности (сплошные линии — активная интенсивность, точечные — реактивная)

Из рис. 1, 2 видно, что в рассматриваемой области звукового поля имеют место особые точки типа центр (1, 3, 5, 7), узел (11, 13, 15, 17) и седло (2, 4, 6, 8—10, 12, 14, 16, 18—20).

При фиксированной частоте с уменьшением расстояния между источниками (например, $l \approx 0,9\lambda$) особая точка 1 типа центр приближается к точке 9, и во всем пространстве (кроме линии, соединяющей источники) особых точек активной интенсивности не наблюдается. При увеличении расстояния между источниками точка 1 удаляется от источников, а из точки 9, которая совмещается с точкой 19, рождается новая особая точка типа центр, совмещенная с точкой типа узел 11, которая удаляется от источников в направлении первой точки.

В силу симметрии задачи то же происходит и с аналогичными особыми точками. На рис. 3 представлены линии тока активной интенсивности (сплошные) и линии тока реактивной интенсивности (точечные) в области особой седловой точки 9 активной интенсивности. Приведенные рисунки дают наглядное представление о сложности энергетической структуры ближнего поля распределенных звуковых источников. Анализ энергетической структуры акустических полей будет полезен при решении многих задач акустики.

СПИСОК ЛИТЕРАТУРЫ

- [1] Бурлаков В. Ю., Жуков А. Н., Иванников А. Н., Тонаканов О. С. // Вестн. Моск. ун-та. Физ. Астрон., 1985. 26, № 5. С. 72. [2] Waterhouse R. V. // Proc. 2nd Intern. Congr. on Acoustic Intensity. CETIM. Senlis France), 1985. P. 129. [3] Тихонов А. Н., Васильева А. Б., Свешников А. Г. Дифференциальные уравнения. М., 1985. С. 144. [4] Tichy J. // Proc. 2nd Intern. Congr. on Acoustic Intensity. CETIM. Senlis (France), 1985. P. 113.

Поступила в редакцию
03.03.88